## ЕВРОПА: МОЩНОСТЬ ВОДНО-ЛЕДЯНОЙ ОБОЛОЧКИ И РАЗМЕРЫ ЯДРА Кусков О.Л., Кронрод В.А.

Институт геохимии и аналитической химии им. В.И. Вернадского РАН, г. Москва  $ol\_kuskov@mail.ru$ 

Работа выполнена при поддержке РФФИ (№№ проектов 00-05-64371, 01-05-64318)

## Вестник Отделения наук о Земле РАН, № 1(20)′2002

URL: http://www.scgis.ru/russian/cp1251/h\_dgggms/1-2002/informbul-1.htm#planet-6

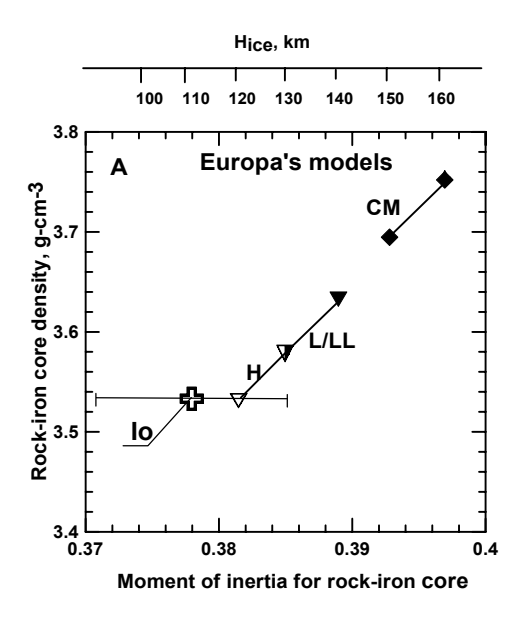
Введение. Спутник Юпитера - Европа занимает среднее положение среди галилеевых спутников. Отличительной характеристикой Европы является вероятное присутствие жидкой воды под тонкой ледяной корой, что приводит к гипотезе существования внеземных форм примитивной жизни. Имеются непротиворечивые геологические и геофизические признаки, говорящие о вероятном существовании водного океана под слоем льда. Присутствие водного океана подтверждается последними исследованиями зонда Galileo [1-2] по магнитному полю и морфологии ледяной поверхности спутника. Новые гравитационные исследования уточнили значения массы и момента инерции Европы и позволили провести оценки мощности оболочек спутника и размеров ядра [3]. Однако, простота моделей [3] не позволяет судить о химическом составе и минеральном строении спутника. Для понимания химического состава и внутреннего строения Европы требуются более полные модели, основанные на термодинамических, геохимических и геофизических ограничениях. Цель настоящей статьи состоит в определении основных характеристик строения Европы (мощность внешней водно-ледяной оболочки, плотность и состав мантии, размеры и масса ядра) на основе геохимических ограничений на состав обыкновенных и углистых хондритов и данных по моменту инерции и массе спутника. На этой общей основе построены самосогласованные модели химического состава и внутреннего строения Европы.

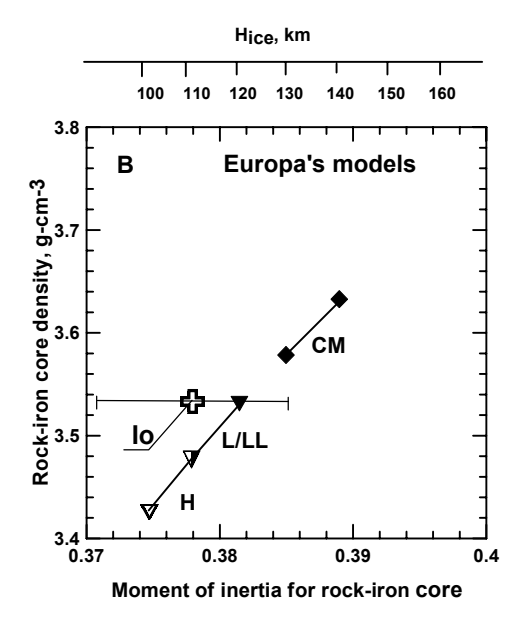
**Геофизические и геохимические ограничения.** Масса и момент инерции Европы служат основными входными данными для оценок важнейших параметров: (1) мощности водно-ледяной оболочки; (2) химического состава (отношение валового содержания железа к кремнию,  $Fe_{tot}/Si$ ; содержание железа в ядре  $Fe_m$ ,  $Fe_m=Fe^{\circ}$  (металл) + Fe из FeS); (3) массы и размеров ядра.

При численном моделировании задавались средняя плотность  $\rho$  (2.989±0.046 г см<sup>-3</sup>), радиус R (1565 км), безразмерный момент инерции  $I^{\circ}/MR^2$ =0.346 ± 0.005 [3]. Распределения плотности в мантии и радиус ядра находились методом Монте Карло [4]. Рассматривалась пяти-шести слойная модель Европы, включающая водно-ледяную оболочку, трехслойную мантию и ядро. Мощность ледяной оболочки является свободным параметром. Плотность и момент инерции железокаменного ядра (силикатная мантия + Fe-FeS ядро) зависят только от одной величины -толщины ледяной оболочки. Плотность льда задавалась  $\rho$ =0.94 г см<sup>-3</sup> на глубинах 0-10 км и  $\rho$ =1.0 г см<sup>-3</sup> на больших глубинах.

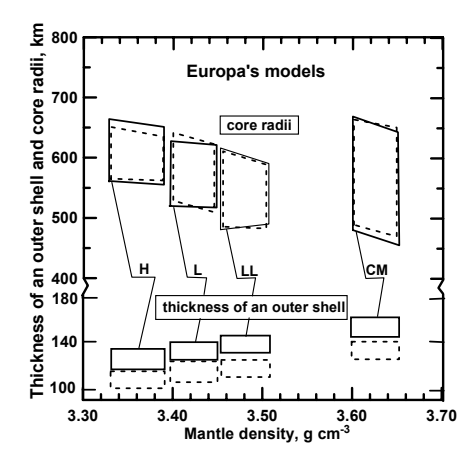
Если при дифференциации Европы образовалось ядро, то следует ожидать появления легкой коры. Учет плотности и мощности коры приводит к существенным изменениям момента инерции железокаменного ядра и мощности водно-ледяной оболочки для модели дифференцированной мантии с образованием коры по сравнению с моделью недифференцированной мантии (модель без коры). Мощность коры и ее плотность составляют 60 км и 2.7 г см<sup>-3</sup>. Дополнительные ограничения на плотность мантии Европы получены на основании величин плотности равновесных фазовых ассоциаций, рассчитанных для составов (без летучих) силикатных фракций обыкновенных (H, L/LL) и углистых хондритов [5]. Мы выбрали состав СМ хондритов как средний между составами СІ (наиболее обогащенные летучими) и СV, СО (обедненные летучими).

Рассматривались две модели состава центрального ядра Европы: Fe-10 мас.%S ( $Fe_{0.84}S_{0.16}$ ,  $\rho$ =5.7 г см<sup>-3</sup>) для L/LL хондритов и FeS-ядро ( $\rho$ =4.7 г см<sup>-3</sup>) для CM хондритов. Фазовый состав и плотность мантии рассчитывались в рамках Na<sub>2</sub>O-TiO<sub>2</sub>-CaO-FeO-MgO-Al<sub>2</sub>O<sub>3</sub>-SiO<sub>2</sub> системы, включающей твердые растворы. Расчет фазовых равновесий проводился методом минимизации свободной энергии Гиббса с помощью программного комплекса THERMOSEISM [4].





**Рис. 1.** Зависимость момента инерции от средней плотности железокаменного ядра Европы (хондритовая мантия + Fe-FeS-ядро). Крест соответствует средней плотности (3.529 г см $^{-3}$ ) и моменту инерции Ио (I/MR $^2$ =0.378 $\pm$ 0.007). Н $_{\rm sh}$  - мощность водно-ледяной оболочки. Отметим, что положение Ио ближе к L/LL хондритовой модели Европы, чем к СМ хондритовой модели. (A) - недифференцированная мантия (модель без коры), (B) - модель с корой.



**Рис. 2.** Зависимость мощности водно-ледяной оболочки и размеров ядра Европы от плотности дифференцированной (штриховая линия) и недифференцированной мантии (сплошная линия). Мощность оболочки составляет 105-145 км для L/LL хондритовой модели. Модели СМ хондритов с наибольшей плотностью мантии соответствует наибольшая величина  $H_{\rm sh}=125\text{-}160$  км.

**Радиус ядра и мощность водно-ледяной оболочки.** Зависимость между геофизически допустимыми значениями плотности и моментом инерции железокаменного ядра Европы (рис. 1)

показывает, что мощность водно-ледяной оболочки  $(H_{sh})$  и радиус Fe-FeS ядра зависят от распределения плотности в мантии (рис. 2). Если все металлические фазы Fe и FeS сосредоточены в ядре, минимальная плотность мантии соответствует модели H хондритов (малая концентрация FeO), а максимальная плотность - углистым хондритам (высокое содержание FeO). Показано, что допустимые отношения  $Fe_{tot}/Si$  в Европе и количество железа в ядре не согласуется с валовым составом H хондритов.

*Модель L/LL хондритов.* На рис. 1 показано, что состав Европы (мантия+ядро) может быть близок составу L и LL хондритов. Мощность оболочки для L/LL модели составляет  $H_{\rm sh}=115\pm10$  км (6.8 $\pm0.6\%$   $H_2{\rm O}$  от массы спутника) в случае дифференцированной мантии и 135 $\pm10$  км (7.9 $\pm0.5\%$   $H_2{\rm O}$ ) для модели без коры (рис. 2); радиус ядра  $R_{\rm core}=505$ -640 км;  $Fe_{\rm m}=M(Fe_{\rm m})/M^*=9.3\pm3\%$  для L хондритовой мантии и 470-620 км;  $Fe_{\rm m}=8.1\pm3\%$  для LL мантии (где  $M^*$  масса железокаменного ядра); отношение ( $Fe_{\rm tot}/Si$ )<sub>мт</sub>=0.91-1.32. Количество железа в ядре и отношение  $Fe_{\rm tot}/Si$  согласуются с составом L/LL хондритов, что говорит о возможности построения железокаменного ядра Европы из материала близкого по составу к L/LL хондритам.

*Модель СМ хондритов*. Высокая плотность СМ хондритовой фазовой ассоциации (3.60-3.67 г см $^{-3}$ ), состоящей в основном из ОI и Срх, приводит к максимальной величине  $H_{sh}=125$ -140 км (7.4-8.2%  $H_2$ O от массы спутника) для дифференцированной мантии с корой и 145-160 км (8.4-9.2%  $H_2$ O) для модели без коры (рис. 2). СМ хондриты содержат около 10%  $H_2$ O, что соответствует количеству воды в Европе для СМ хондритовой модели. FeS ядро имеет радиус 450-670 км с отношением  $Fe_{tot}/Si=1.43-1.83$ , что находится в хорошем согласии с углистыми хондритами СI, СМ, CO, CV, CR, CK. Такое FeS-ядро (4.2-13.6% массы железокаменного ядра) соответствует концентрации FeS в СМ хондритах (8.2 мас%), но расходится с концентрацией в CI хондритах (20 мас % FeS в пересчете на состав без летучих).

Средняя плотность и момент инерции железокаменного ядра для модели L и LL хондритов ( $\rho$ \*=3.476-3.636 г см<sup>-3</sup> и I\*=0.378-0.389) близки к параметрам Ио (рис. 1). Сопоставление рис. 1 и 2 показывает, что учет коры с малой плотностью ведет к уменьшению момента инерции и мощности оболочки  $H_{\rm sh}$ . Близость значений плотности и момента инерции Ио и железокаменного ядра Европы показывает, что их валовые составы могут быть подобны составам L/LL хондритов.

Данные по определению концентраций основных элементов в астероиде 433 Eros показывают, что состав обыкновенных хондритов может служить хорошим аналогом для этого астероида [6]. Мы также склоняемся к тому, что состав Европы по степени окисления ближе к L/LL хондритам, чем к углистым хондритам. Ледяная оболочка, возможно, сформировалась в результате аккреции сконденсировавшихся льдов воды из холодного протодиска Юпитера уже после образования железокаменного ядра. Температура плавления льда I понижается до 251 К при 0.21 GPa (лед-I – лед-III – тройная точка), что говорит о возможном существовании жидкой воды под слоем льда. Мощность внешнего слоя (лед + вода) составляет 115±10 км для L/LL-хондритовой мантии с корой и 135±10 км для мантии без коры.

## References

- 1. Pappalardo R.T. et al. (1999) J. Geophys. Res. 104E: 24015.
- 2. Kivelson M.G. et al. (2000) Sci. 289: 1340.
- 3. Anderson J.D. et al. (1998) Sci. 281: 2019.
- 4. Kuskov O.L., Kronrod V.A. (2001) Icarus. 151: 204.
- 5. Jarosewich E. (1990) Meteoritics 25: 323.
- 6. Trombka J.I. et al. (2000). Sci. 289: 2101.